

半正定値計画法に対する主双対内点法の群対称性

寒野 善博*, 大崎 純*, 室田 一雄**, 加藤 直樹*

* 京都大学大学院工学研究科 建築学専攻

** 京都大学 数理解析研究所

東京大学大学院 情報理工学研究科

半正定値計画法

(Semi-Definite Program : **SDP**)

1. 数理計画法の1つ, 凸計画法

2. 線形計画法, 凸2次計画法などを含む

3. 主双対内点法

- 問題のサイズの多項式時間で最適解が得られる
- 実用的で高速なソフトウェア

4. 応用

- システム制御
- 組合せ最適化問題
- 構造最適化

– 外力仕事の最小化 (Ben-Tal and Nemirovski, 1997)

– 1次固有振動数制約 (Ohsaki et al., 1999)

– 線形座屈荷重係数制約 (Kanno et al., 2000)

SDP の等式標準形:

$$\mathcal{P} : \min \quad \mathbf{C} \bullet \mathbf{X}$$

$$\text{s.t.} \quad \mathbf{A}_p \bullet \mathbf{X} = b_p \quad (p = 1, \dots, m),$$

$$\mathbf{X} \in \mathcal{S}_+^n;$$

$$\mathcal{D} : \max \sum_{p=1}^m b_p z_p$$

$$\text{s.t.} \quad \sum_{p=1}^m \mathbf{A}_p z_p + \mathbf{Y} = \mathbf{C},$$

$$\mathbf{Y} \in \mathcal{S}_+^n.$$

記号の定義:

$$\mathbf{U} \in \mathcal{S}_+^n \iff \mathbf{U} \in \Re^{n \times n}: \text{対称, 半正定値}$$

$$\mathbf{U} \in \mathcal{S}_{++}^n \iff \mathbf{U} \in \Re^{n \times n}: \text{対称, 正定値}$$

変数:

$$\mathbf{X} \in \mathcal{S}^n, \quad \mathbf{Y} \in \mathcal{S}^n, \quad \mathbf{z} \in \Re^m$$

定数:

$$\mathbf{A}_1, \dots, \mathbf{A}_m \in \mathcal{S}^n, \quad \mathbf{b} \in \Re^m, \quad \mathbf{C} \in \mathcal{S}^n$$

行列の内積:

$$\mathbf{U} \bullet \mathbf{V} = \text{Tr}(\mathbf{U}^\top \mathbf{V}) = \sum_{i=1}^n \sum_{j=1}^n U_{i,j} V_{i,j}$$

指定1次固有振動数を有する最適設計

- 部材, 節点の配置を固定.
- 部材断面積が変数.

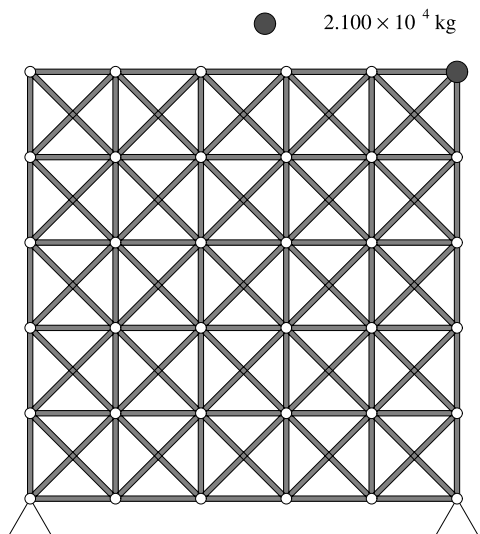


Fig. 1: 初期トラス.

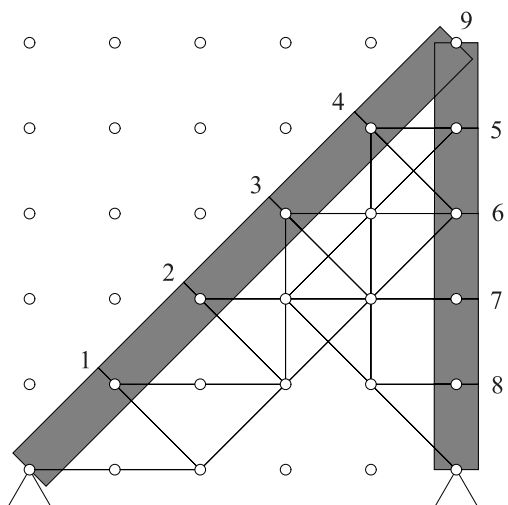


Fig. 2: 最適解.

固有振動数 Ω_r :

$$\mathbf{K}\Phi_r = \Omega_r(\mathbf{M}_s + \mathbf{M}_0)\Phi_r \quad (r = 1, \dots, n).$$

\mathbf{K} : 線形剛性行列

\mathbf{M}_s : 質量行列 (構造質量)

\mathbf{M}_0 : 質量行列 (非構造質量)

構造最適化問題:

$$\begin{aligned}
 \min \quad & \sum_{p=1}^{N^m} b_p z_p \\
 \text{s.t.} \quad & \Omega_r \geq \bar{\Omega}, \quad (r = 1, \dots, n), \\
 & z_p \geq \bar{z}_p, \quad (p = 1, \dots, m).
 \end{aligned}$$

$z = (z_p)$: 部材断面積

$b = (b_p)$: 部材長

$\bar{\Omega}$: 指定1次固有値

目的関数: 部材の総体積

SDPとしての定式化

$$\begin{aligned}
 \mathcal{D}' : \max \quad & - \sum_{p=1}^m b_p z_p \\
 \text{s.t.} \quad & - \sum_{p=1}^m (\mathbf{K}_p - \bar{\Omega} \mathbf{M}_p) z_p + \mathbf{Y} = -\bar{\Omega} \mathbf{M}_0, \\
 & \mathbf{Y} \in \mathcal{S}_+^n, \quad z_p \geq \bar{z}_p \quad (p = 1, \dots, m).
 \end{aligned}$$

定行列

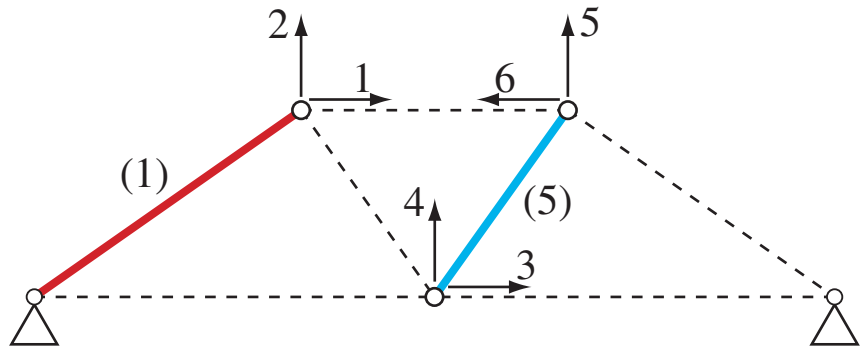
\mathbf{K}_p : 部材剛性行列

\mathbf{M}_p : 部材質量行列

\mathbf{M}_0 : 非構造質量行列

定数 b_p , 定行列 K_p

- b_1 : 部材(1)の長さ



- 行列 K_p : 部材 p の特性 ($\in \mathcal{S}^6$)
- K_p の成分 : 行, 列が節点座標の番号に対応
 - K_1 : 部材(1); 非零要素 $(1,1), (1,2), (2,1), (2,2)$
 - K_5 : 部材(5); 非零要素 $(3,3), (3,4), \dots, (6,6)$

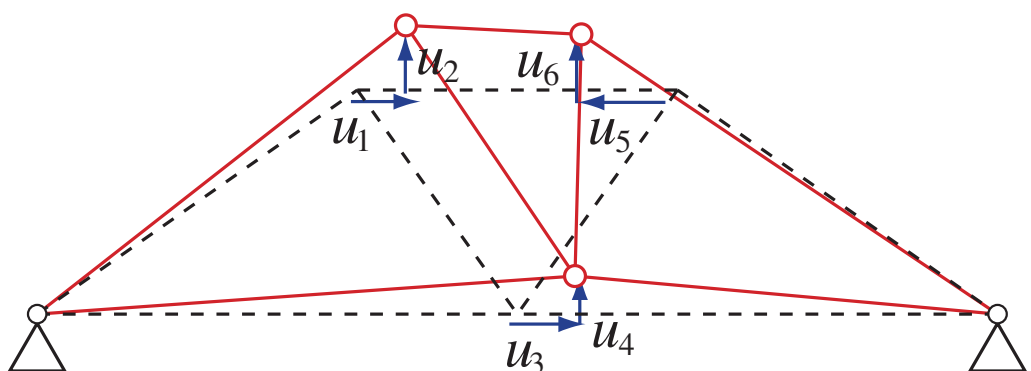


Fig. 3: 節点の変位.

研究の背景:

1. 構造物の最適設計

(a) 対称な形状を指定

(b) 断面積 z を最適化

2. 問題点

(a) 対称な最適解 z^* が常に求まるか?

(b) 対称解: $z_1^* = z_7^*$, $z_2^* = z_6^*$, $z_3^* = z_5^*$?

3. 数値実験 (Ohsaki et al., 1999):

(a) IPM : 対称解.

(b) SQP : 非対称な解.

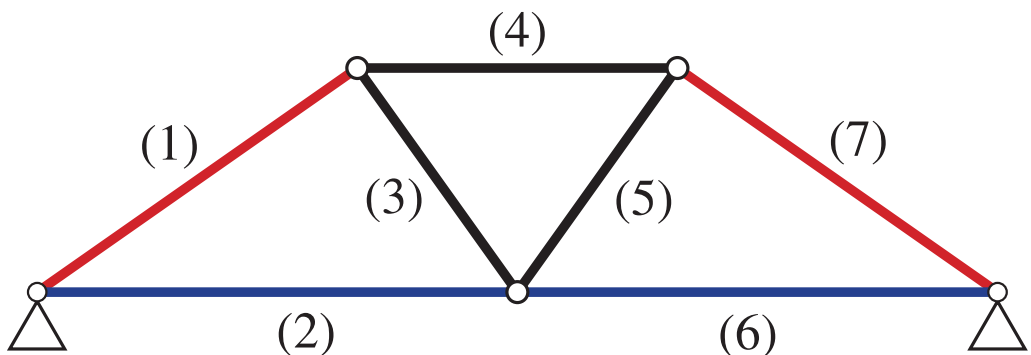


Fig. 4: 対称な形状のトラス.

研究の目的:

1. 理論的な根拠

(a) 対称な SDP の定義

i. 群表現論

(b) 内点法の解の対称性

i. 中心パス (CP_μ) の対称性

ii. 内点法の探索方向の対称性

2. 応用例 — トラスの最適設計

定義:

1. G : 有限群

2. P : 群 G の n 次表現,

D : 群 G の m 次表現.

• 各 $g, h \in G$ に対し,

1. $P(g)$ は $n \times n$ 正則行列

2. $P(g)P(h) = P(gh)$

SDP($\mathbf{A}_1, \dots, \mathbf{A}_m, \mathbf{b}, \mathbf{C}$):

$$\mathcal{P} : \min \mathbf{C} \bullet \mathbf{X}$$

$$\text{s.t. } \mathbf{A}_p \bullet \mathbf{X} = b_p \ (i = 1, \dots, m), \ \mathbf{X} \in \mathcal{S}_+^n;$$

$$\mathcal{D} : \max \sum_{p=1}^m b_p \mathbf{z}_p$$

$$\text{s.t. } \sum_{p=1}^m \mathbf{A}_p \mathbf{z}_p + \mathbf{Y} = \mathbf{C}, \ \mathbf{Y} \in \mathcal{S}_+^n.$$

$g \in G$ の SDP の解に対する作用:

$$g : (\mathbf{X}, \mathbf{Y}, \mathbf{z}) \mapsto (\widetilde{\mathbf{X}}(g), \widetilde{\mathbf{Y}}(g), \widetilde{\mathbf{z}}(g))$$

$$\widetilde{\mathbf{X}}(g) = \mathbf{P}(g)^{-1} \mathbf{X} \mathbf{P}(g)^{-\top},$$

$$\widetilde{\mathbf{Y}}(g) = \mathbf{P}(g)^\top \mathbf{Y} \mathbf{P}(g),$$

$$\widetilde{\mathbf{z}}(g) = \mathbf{D}(g)^{-1} \mathbf{z}.$$

解 $(\mathbf{X}, \mathbf{Y}, \mathbf{z})$ が G 対称:

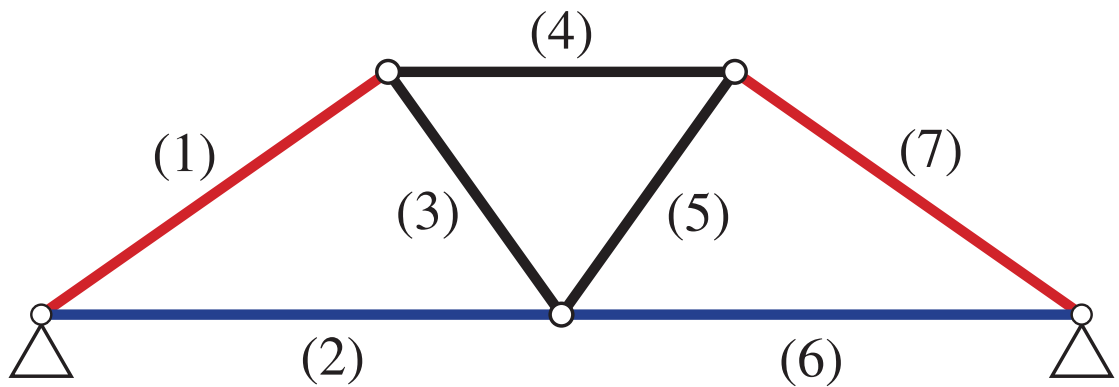
$$(\widetilde{\mathbf{X}}(g), \widetilde{\mathbf{Y}}(g), \widetilde{\mathbf{z}}(g)) = (\mathbf{X}, \mathbf{Y}, \mathbf{z}) \quad \forall g \in G.$$

$\mathbf{D} \in \Re^{n \times n}, \ \mathbf{P} \in \Re^{m \times m}$ 正則行列

解の対称性

$$D = \begin{bmatrix} 0 & \dots & 0 & 0 & 1 \\ 0 & \dots & 0 & 1 & 0 \\ \vdots & \ddots & \vdots & \vdots & \vdots \\ 1 & \dots & 0 & 0 & 0 \end{bmatrix} = D^{-1}$$

$$\begin{aligned} z &= (z_1, z_2, \dots, \textcolor{blue}{z}_6, \textcolor{red}{z}_7), \\ \tilde{z} &= D^{-1}z = (\textcolor{red}{z}_7, \textcolor{blue}{z}_6, \dots, z_2, z_1). \end{aligned}$$

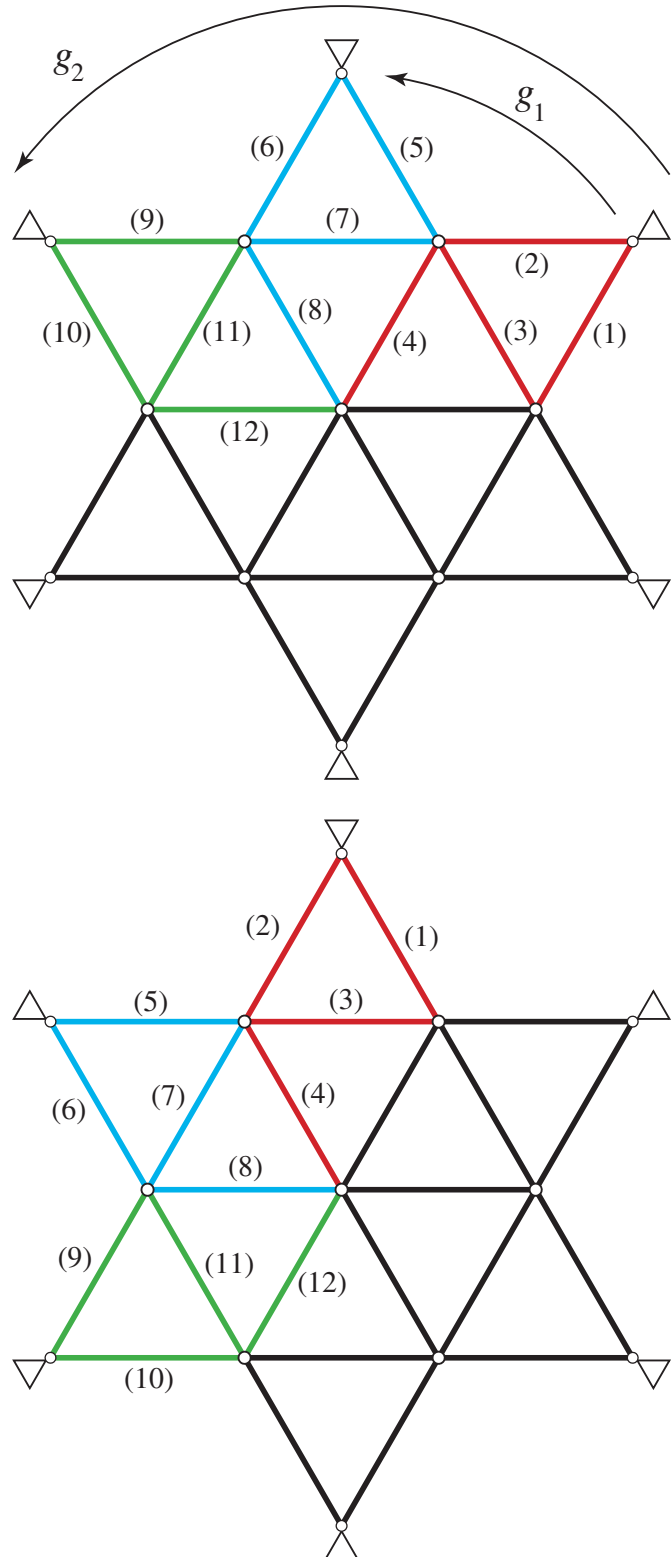


対称解:

- 最適解 z^* が $\tilde{z}^* = z^*$ を満たす.

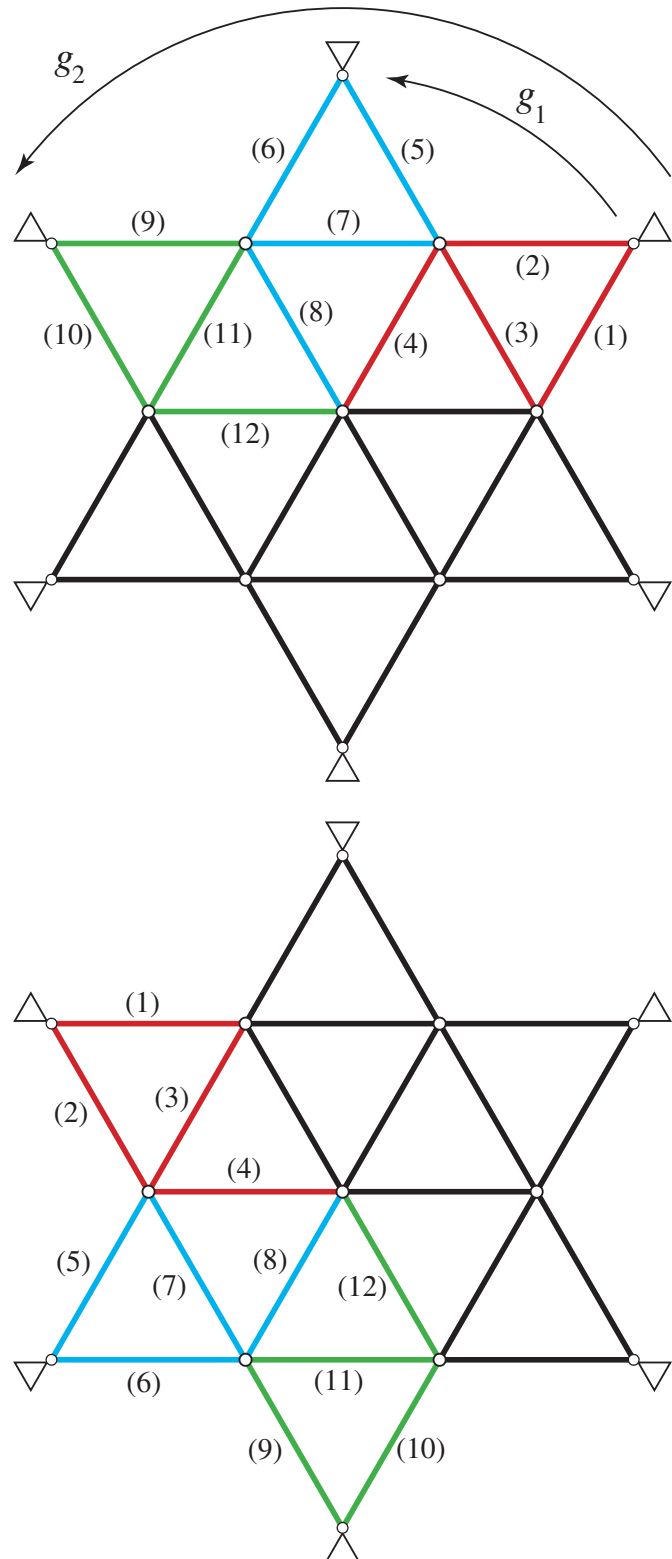
解の対称性— $g_1 \in D_6 : \pi/3$ 回転

- $\tilde{\mathbf{z}} = (\tilde{z}_1, \tilde{z}_2, \tilde{z}_3, \tilde{z}_4, \dots) = (z_5, z_6, z_7, z_8, \dots), \tilde{\mathbf{z}} = \mathbf{z}.$



解の対称性— $g_2 \in D_6$: $2\pi/3$ 回転

- $\tilde{\mathbf{z}} = (\tilde{z}_1, \tilde{z}_2, \tilde{z}_3, \tilde{z}_4, \dots) = (z_9, z_{10}, z_{11}, z_{12}, \dots)$, $\tilde{\mathbf{z}} = \mathbf{z}$.



$\text{SDP}(\mathbf{A}_1, \dots, \mathbf{A}_m, \mathbf{b}, \mathbf{C})$:

$$\mathcal{P} : \min \quad \mathbf{C} \bullet \mathbf{X}$$

$$\text{s.t.} \quad \mathbf{A}_p \bullet \mathbf{X} = \mathbf{b}_p \quad (i = 1, \dots, m), \quad \mathbf{X} \in \mathcal{S}_+^n;$$

$$\mathcal{D} : \max \sum_{p=1}^m \mathbf{b}_p z_p$$

$$\text{s.t.} \quad \sum_{p=1}^m \mathbf{A}_p z_p + \mathbf{Y} = \mathbf{C}, \quad \mathbf{Y} \in \mathcal{S}_+^n.$$

$g \in G$ の SDP の問題に対する作用:

$$g : (\mathbf{A}_1, \dots, \mathbf{A}_m, \mathbf{b}, \mathbf{C}) \mapsto (\tilde{\mathbf{A}}_1, \dots, \tilde{\mathbf{A}}_m, \tilde{\mathbf{b}}, \tilde{\mathbf{C}})$$

$$\tilde{\mathbf{A}}_q(g) = \sum_{p=1}^m \mathbf{P}(g)^\top \mathbf{A}_p \mathbf{P}(g) D_{pq}(g),$$

$$\tilde{b}_q(g) = \sum_{p=1}^m b_p D_{pq}(g),$$

$$\tilde{\mathbf{C}}(g) = \mathbf{P}(g)^\top \mathbf{C} \mathbf{P}(g).$$

問題 $\text{SDP}(\mathbf{A}_1, \dots, \mathbf{A}_m, \mathbf{b}, \mathbf{C})$ が G 対称:

$$(\tilde{\mathbf{A}}_1(g), \dots, \tilde{\mathbf{A}}_m(g), \tilde{\mathbf{b}}(g), \tilde{\mathbf{C}}(g))$$

$$= (\mathbf{A}_1, \dots, \mathbf{A}_m, \mathbf{b}, \mathbf{C}), \quad \forall g \in G.$$

中心パス

$$(\text{CP}_\mu) \quad \mathbf{A}_p \bullet \mathbf{X} = b_p \quad (i = 1, \dots, m),$$

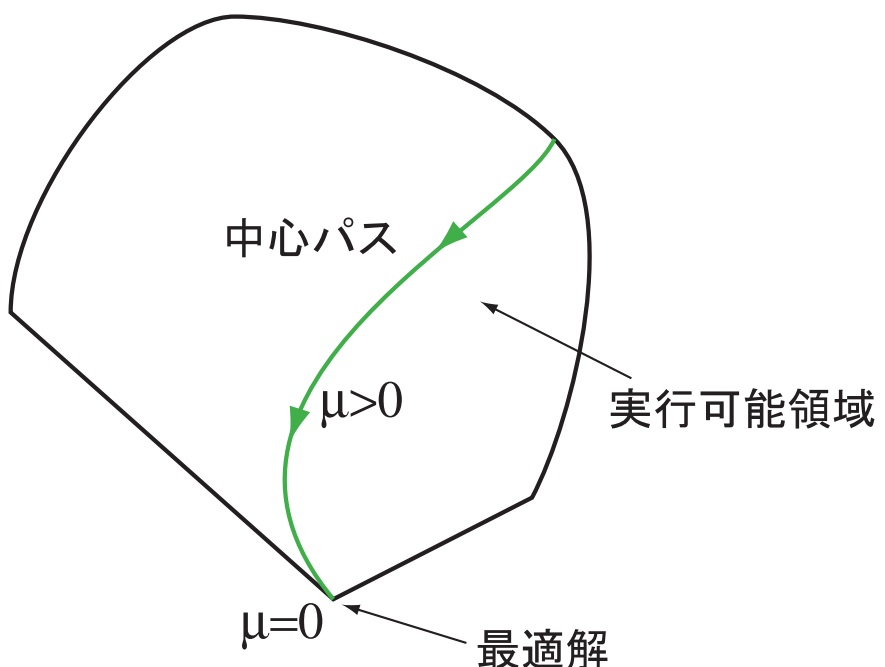
$$\sum_{p=1}^m \mathbf{A}_p z_p + \mathbf{Y} = \mathbf{C},$$

$$\mathbf{X}\mathbf{Y} = \mu \mathbf{I}, \quad (\mu > 0),$$

$$\mathbf{X}, \mathbf{Y} \in \mathcal{S}_{++}^n.$$

$$\Gamma = \{(\mathbf{X}(\mu), \mathbf{Y}(\mu), \mathbf{z}(\mu)) : \mu > 0\}$$

1. $\forall \mu$, 一意的に $\exists (\mathbf{X}(\mu), \mathbf{Y}(\mu), \mathbf{z}(\mu))$ (Kojima et al., 1997).
2. $(\mathbf{X}(\mu), \mathbf{Y}(\mu), \mathbf{z}(\mu)) \rightarrow$ 最適解 $(\mu \rightarrow 0)$.
3. 内点法: (CP_μ) を $\mu \rightarrow 0$ に追跡して最適解 $(\mathbf{X}^*, \mathbf{Y}^*, \mathbf{z}^*)$ を得る.



定理—中心パスの対称性:

$\text{SDP}(\mathbf{A}_1, \dots, \mathbf{A}_m, \mathbf{b}, \mathbf{C})$ が G 対称

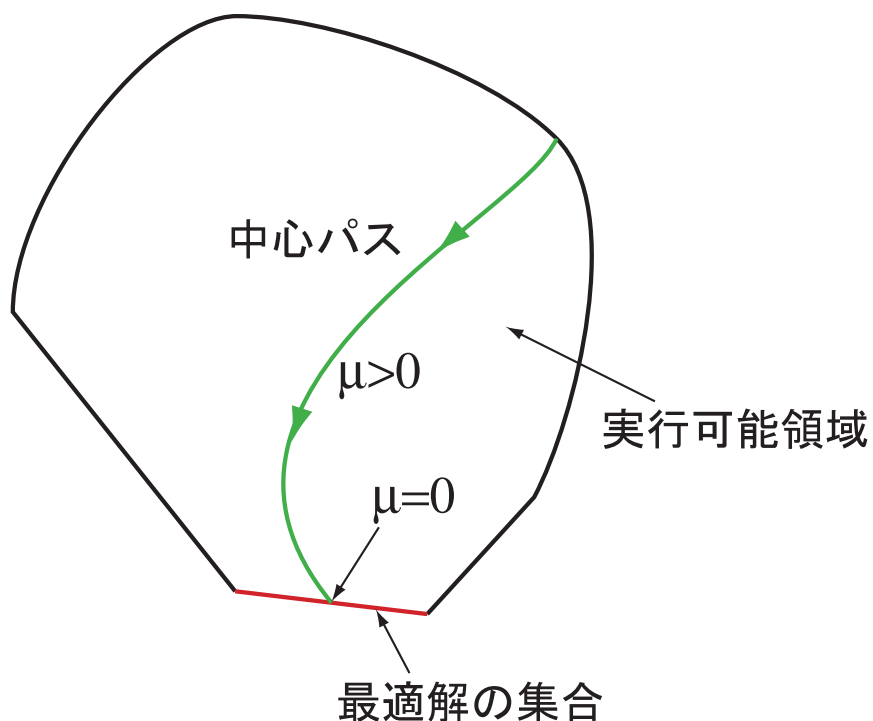
$\implies (\mathbf{X}(\mu), \mathbf{Y}(\mu), z(\mu)) \in (\text{CP}_\mu)$ は G 対称

証明:

1. $\mu = \mu^*$, $(\mathbf{X}, \mathbf{Y}, z) \in (\text{CP}_{\mu^*})$ とする.
2. $(\widetilde{\mathbf{X}}, \widetilde{\mathbf{Y}}, \widetilde{z}) \in (\text{CP}_{\mu^*})$ を示す.
3. (CP_{μ^*}) の解の一意性より, $(\widetilde{\mathbf{X}}, \widetilde{\mathbf{Y}}, \widetilde{z}) = (\mathbf{X}, \mathbf{Y}, z)$.

• \implies 内点法で得られる最適解:

$(\mathbf{X}^*, \mathbf{Y}^*, z^*) = (\mathbf{X}(0), \mathbf{Y}(0), z(0))$ は, G 対称である.



$$\begin{aligned}
 \mathcal{D}' : \max \quad & - \sum_{p=1}^m \color{red}{b_p} z_p \\
 \text{s.t.} \quad & - \sum_{p=1}^m (\color{red}{K_p} - \bar{\Omega} \mathbf{M}_p) z_p + \mathbf{Y} = -\bar{\Omega} \mathbf{M}_0, \\
 & \mathbf{Y} \in \mathcal{S}_+^n, \quad z_p \geq \bar{z}_p \quad (p = 1, 2, \dots, m).
 \end{aligned}$$

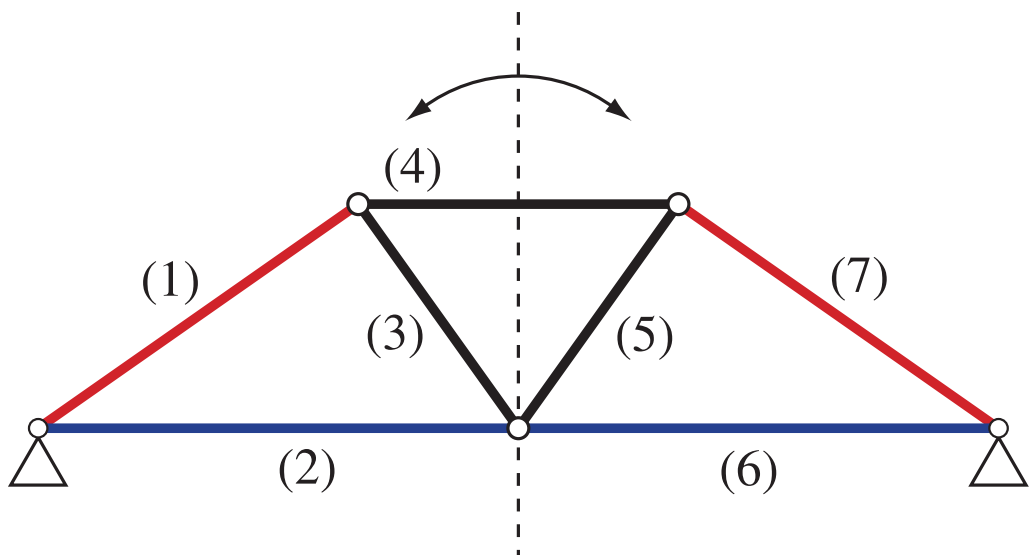
\mathcal{D}' の G 対称性

— $\tilde{\mathbf{b}} = \mathbf{b}$, $\widetilde{\mathbf{K}}_p = \mathbf{K}_p$ を示す.

- \mathbf{b} : 部材長

$$\begin{aligned}
 \mathbf{b} &= (b_1, b_2, \dots, \color{blue}{b_6}, \color{red}{b_7}), \\
 \tilde{\mathbf{b}} &= (\color{red}{b_7}, \color{blue}{b_6}, \dots, b_2, b_1).
 \end{aligned}$$

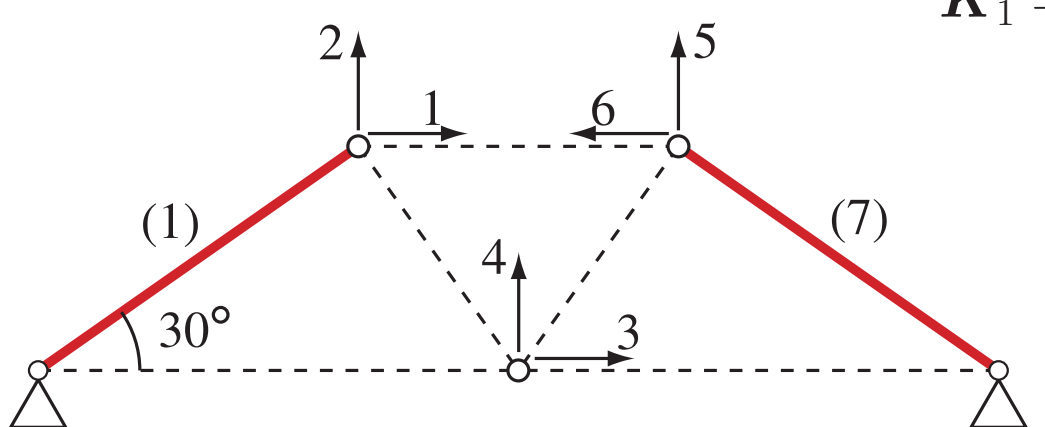
- 対称なトラス形状 $\Rightarrow \tilde{\mathbf{b}} = \mathbf{b}$



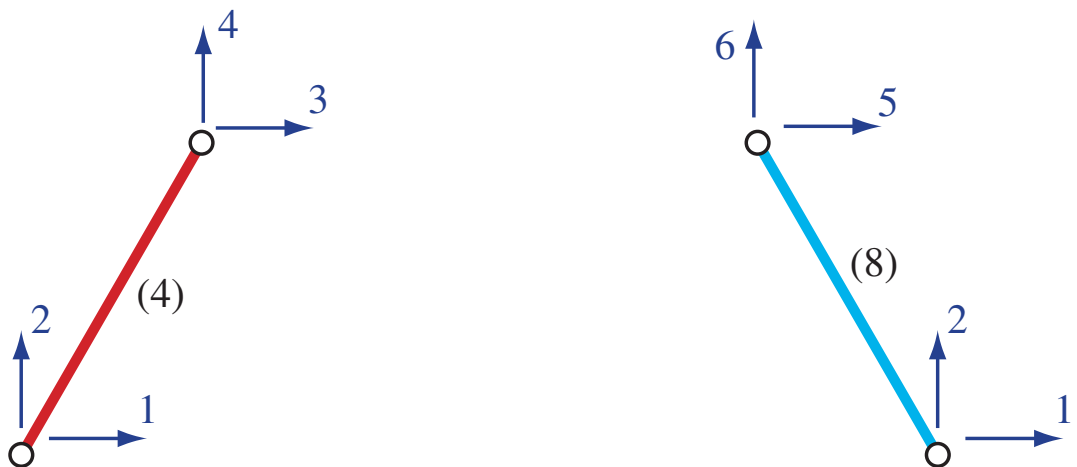
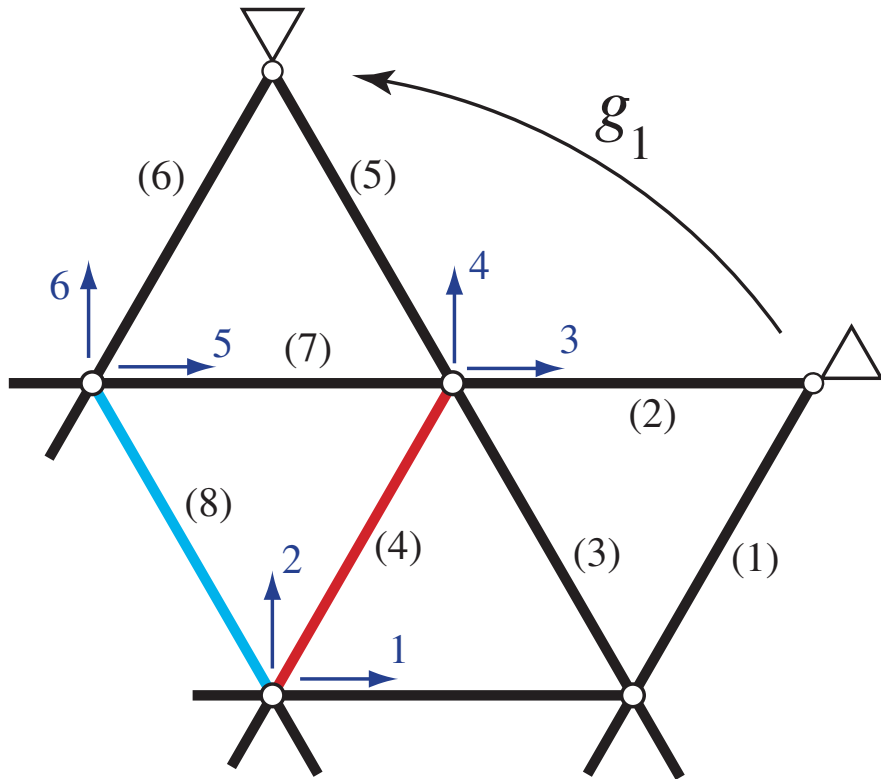
部材剛性行列 \mathbf{K}_i の対称性:

$$\mathbf{K}_1 = \frac{E}{b_1} \begin{bmatrix} 3/4 & \sqrt{3}/4 & 0 & 0 & 0 & 0 \\ \sqrt{3}/4 & 1/4 & 0 & 0 & 0 & 0 \\ 0 & 0 & 0 & 0 & 0 & 0 \\ 0 & 0 & 0 & 0 & 0 & 0 \\ 0 & 0 & 0 & 0 & 0 & 0 \\ 0 & 0 & 0 & 0 & 0 & 0 \end{bmatrix} \quad \mathbf{P} = \begin{bmatrix} 0 & \dots & 0 & 0 & 1 \\ 0 & \dots & 0 & 1 & 0 \\ \vdots & \ddots & \vdots & \vdots & \vdots \\ 1 & \dots & 0 & 0 & 0 \end{bmatrix}$$

$$\mathbf{K}_7 = \frac{E}{b_7} \begin{bmatrix} 0 & 0 & 0 & 0 & 0 & 0 \\ 0 & 0 & 0 & 0 & 0 & 0 \\ 0 & 0 & 0 & 0 & 0 & 0 \\ 0 & 0 & 0 & 0 & 0 & 0 \\ 0 & 0 & 0 & 0 & 1/4 & \sqrt{3}/4 \\ 0 & 0 & 0 & 0 & \sqrt{3}/4 & 3/4 \end{bmatrix} \quad \widetilde{\mathbf{K}}_1 = \mathbf{P}^\top \mathbf{K}_7 \mathbf{P}$$



部材剛性行列 \mathbf{K}_i の対称性 (D_6):



- 座標変換 ($\pi/3$ 回転)
- 行および列の置換 $(3, 4) \rightarrow (5, 6)$
- $\Rightarrow \tilde{\mathbf{K}}_4 = \mathbf{K}_8 = \mathbf{K}_4$

中心パスを表す非線形方程式系:

$$\begin{aligned} (\text{CP}_\mu) \quad & \mathbf{A}_p \bullet \mathbf{X} = b_p \ (i = 1, 2, \dots, m), \\ & \sum_{p=1}^m \mathbf{A}_p z_p + \mathbf{Y} = \mathbf{C}, \\ & \mathbf{X} \mathbf{Y} = \mu \mathbf{I}, \quad \mathbf{X}, \mathbf{Y} \in \mathcal{S}_{++}^n. \end{aligned}$$

HRVW/KSH/M 探索方向:

$$\begin{aligned} & \mathbf{A}_p \bullet (\mathbf{X} + d\mathbf{X}) = b_p \ (i = 1, 2, \dots, m), \\ & \sum_{p=1}^m \mathbf{A}_p (z_p + dz_p) + (\mathbf{Y} + d\mathbf{Y}) = \mathbf{C}, \\ & (d\mathbf{X} + d\mathbf{X}') \mathbf{Y} + \mathbf{X} d\mathbf{Y} = \mu \mathbf{I}, \\ & d\mathbf{X}, d\mathbf{Y} : \text{対称}, \quad d\mathbf{X}' : \text{反対称}. \end{aligned}$$

- $\mathbf{X} \in \mathcal{S}_{++}^n$, $\mathbf{Y} \in \mathcal{S}_{++}^n$, $\mathbf{z} \in \Re^m$: 現在の点
- $(d\mathbf{X}, d\mathbf{Y}, dz)$: 探索方向
- 常に, 一意的な解を持つ.

dual HRVW/KSH/M 探索方向:

$$\mathbf{A}_p \bullet (\mathbf{X} + d\mathbf{X}) = b_p \quad (i = 1, 2, \dots, m),$$

$$\sum_{p=1}^m \mathbf{A}_p(z_p + dz_p) + (\mathbf{Y} + d\mathbf{Y}) = \mathbf{C},$$

$$d\mathbf{X}\mathbf{Y} + \mathbf{X}(d\mathbf{Y} + d\mathbf{Y}') = \mu\mathbf{I},$$

$d\mathbf{X}, d\mathbf{Y}$: 対称, $d\mathbf{Y}'$: 反対称.

- $\mathbf{X} \in \mathcal{S}_{++}^n, \mathbf{Y} \in \mathcal{S}_{++}^n, z \in \Re^m$: 現在の点
- $(d\mathbf{X}, d\mathbf{Y}, dz)$: 探索方向

NT 探索方向:

$$\mathbf{A}_p \bullet (\mathbf{X} + d\mathbf{X}) = b_p \quad (i = 1, 2, \dots, m),$$

$$\sum_{p=1}^m \mathbf{A}_p(z_p + dz_p) + (\mathbf{Y} + d\mathbf{Y}) = \mathbf{C},$$

$$(d\mathbf{X} + d\mathbf{X}')\mathbf{Y} + \mathbf{X}(d\mathbf{Y} + d\mathbf{Y}') = \mu\mathbf{I},$$

$d\mathbf{X}, d\mathbf{Y}$: 対称, $d\mathbf{X}' = \mathbf{U}_1, d\mathbf{Y}' = \mathbf{U}_2$.

- $\mathbf{U}_1 = \mathbf{L}\mathbf{U}\mathbf{L}^\top, \mathbf{U}_2 = \mathbf{L}^{-\top}\mathbf{U}\mathbf{L}^{-1}$, (\mathbf{U} : 反対称).
- $\mathbf{L}\mathbf{L}^\top = \mathbf{X}^{1/2}(\mathbf{X}^{1/2}\mathbf{Y}\mathbf{X}^{1/2})^{-1/2}\mathbf{X}^{1/2}$, (\mathbf{L} : 正則).

定理—探索方向の対称性:

1. $\text{SDP}(\mathbf{A}_1, \dots, \mathbf{A}_m, \mathbf{b}, \mathbf{C})$ が G 対称

2. $(\mathbf{X}, \mathbf{Y}, \mathbf{z})$ が G 対称

\implies HRVW/KSH/M 探索方向 $(d\mathbf{X}, d\mathbf{Y}, dz)$ は G 対称.

証明:

1. 探索方向の方程式系が G 不変

2. 解の一意性

- dual HRVW/KSH/M 探索方向

- NT 探索方向

- 初期解が G 対称

\implies 全てのステップで探索方向が G 対称

例題: 5自由度トラス

- 比較
 - IPM (主双対内点法)
 - SQP (逐次2次計画法)
- $E = 205.8 \text{ GPa}$, $\rho = 7.86 \times 10^{-3} \text{ kg}$,
 $\bar{\Omega} = 1000 \text{ rad}^2/\text{s}^2$, $\bar{z}_i = 10.0 \text{ cm}^2$.
- 非対称な初期解 z^0

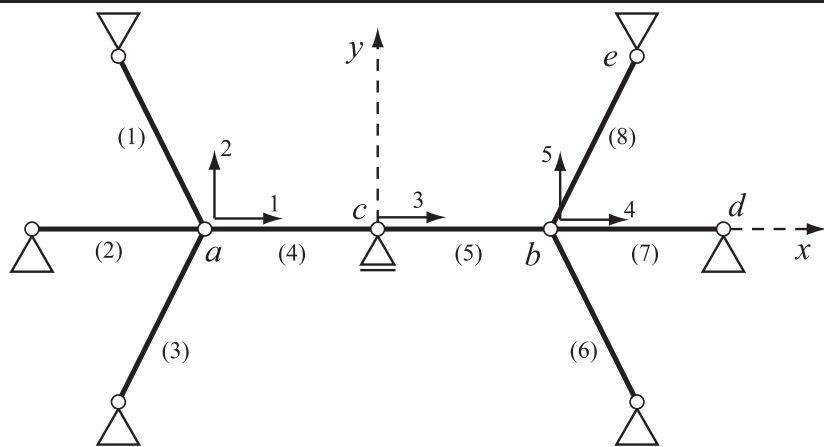


Fig. 5: 対称なトラス形状 (D_2).

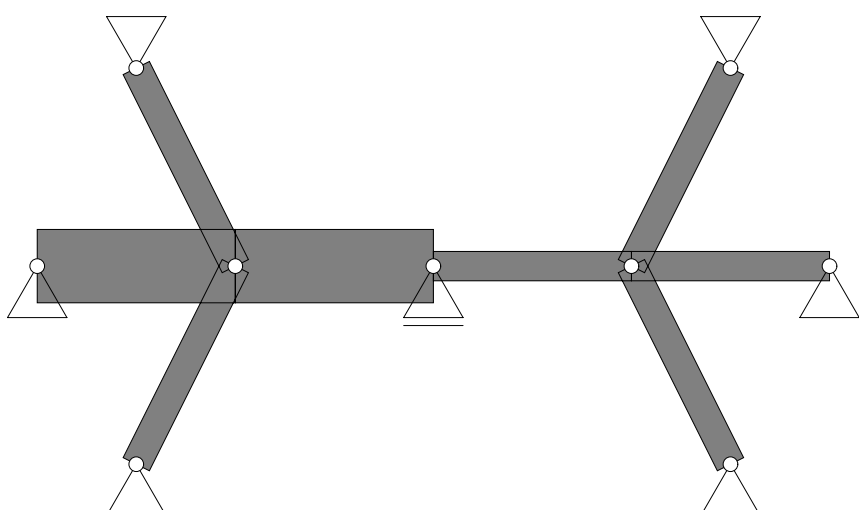


Fig. 6: 初期解.

例題: 5自由度トラス

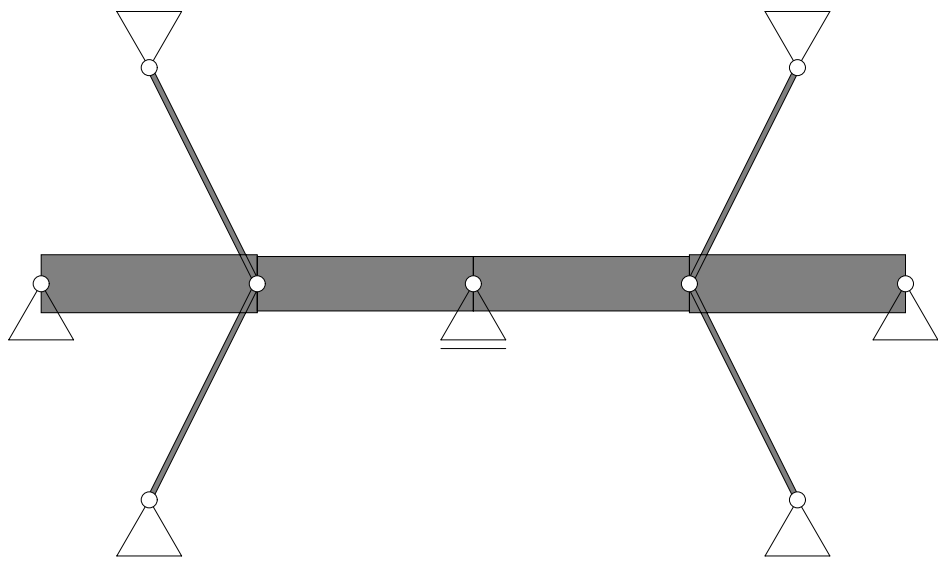


Fig. 7: IPM (対称解 (D_2)).

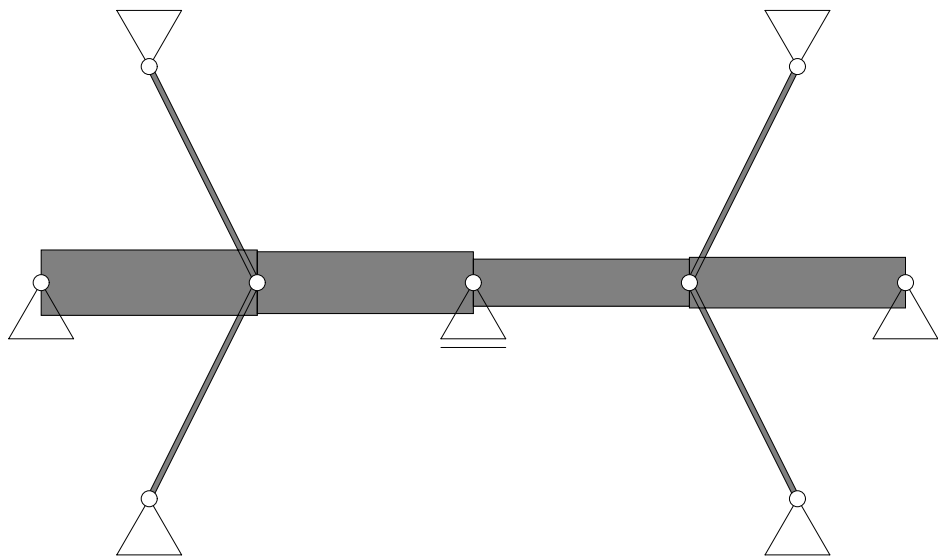


Fig. 8: SQP (非対称解).

	IPM	SQP
Vol. (cm ³)	46615.9	46615.9

例題: 5自由度トラス

探索方向の比較

初期解	HRVW/KSH/M	NT	AHO
対称	対称 (5 行)	対称 (5 衍)	対称 (4 衍)
非対称	対称 (4 衍)	対称? (3 衍)	非対称

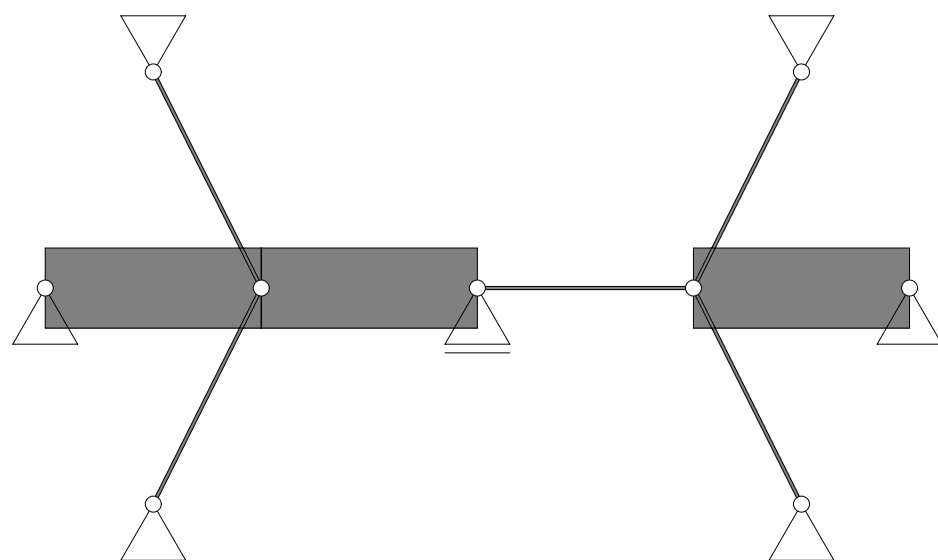


Fig. 9: 初期解 (非対称).

例題：平面アーチ

解法	解の対称性	精度	目的関数値 (cm ³)
IPM	対称	(6 衍)	774493.1
SQP	非対称	(2 衍)	774592.9

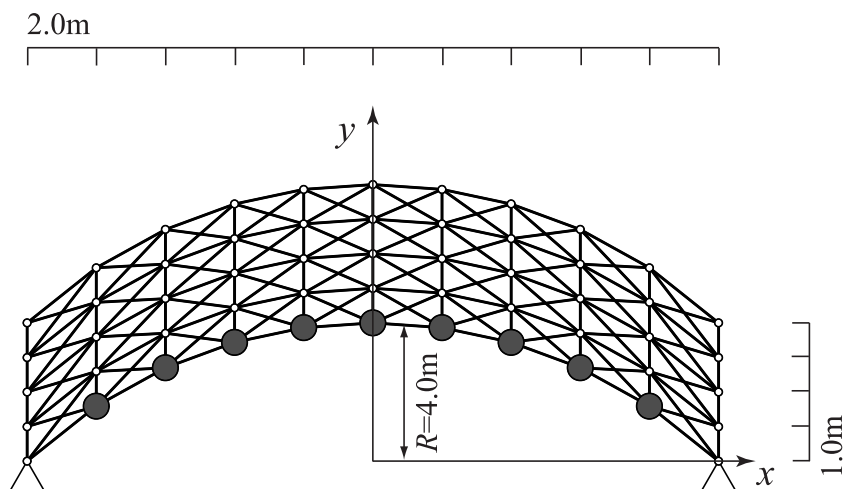


Fig. 10: 平面アーチの形状.

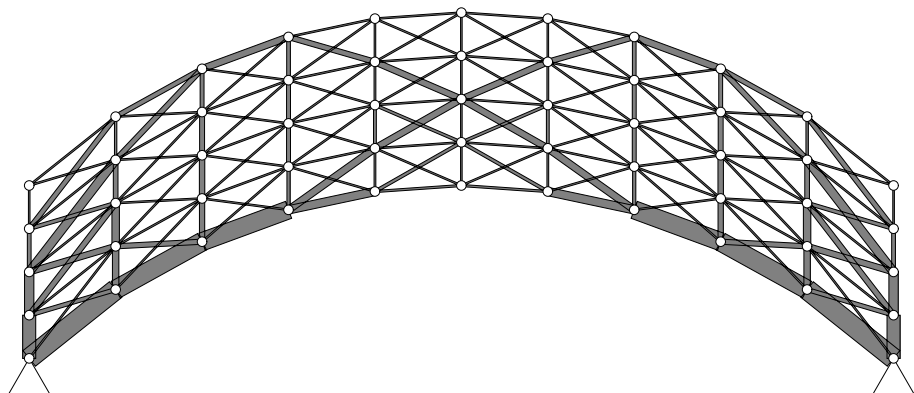


Fig. 11: 対称解 (IPM).

例題：球形シェル状トラス

- 正2面体群 D_6

- s : xz 平面に対する鏡映
- $r(\phi)$: z 軸, 角度 ϕ の反時計まわりの回転

$$D_6 = \left\{ r\left(\frac{2\pi k}{6}\right), sr\left(\frac{2\pi k}{6}\right) \mid k = 0, \dots, 5 \right\},$$

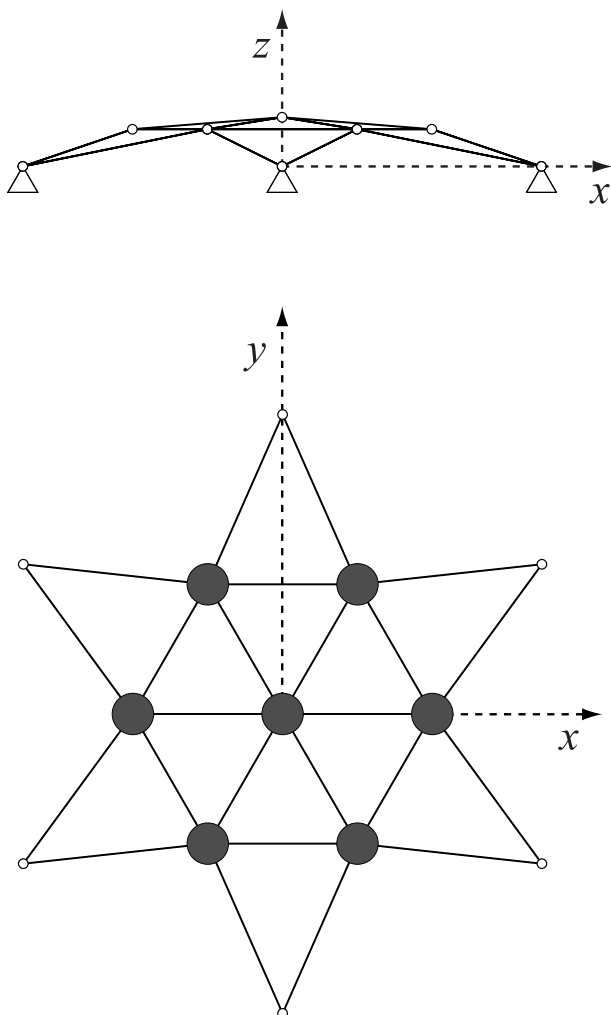


Fig. 12: 24部材球形シェル状トラス.

例題：球形シェル状トラス

- 主双対内点法 (HRVW/KSH/M)

- D_6 対称な断面積
 - 7行の精度

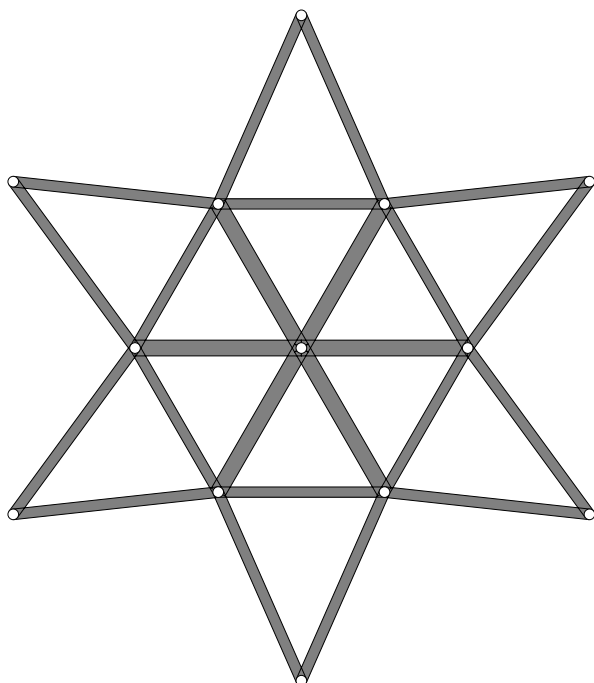


Fig. 13: 球形シェル状トラスの最適解.

例題: 30部材立体トラス

- 正4面体群 T_d
 - 正4面体を動かしてもとの形に重ねる操作の群

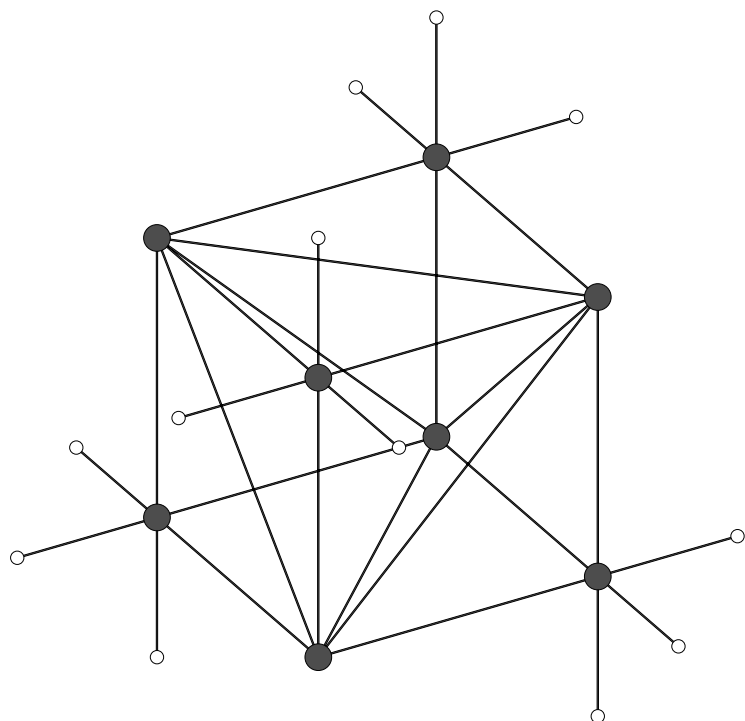


Fig. 14: 30部材立体トラス.

例題: 30部材立体トラス

- 主双対内点法 (HRVW/KSH/M)

- T_d 対称な断面積

- 9桁の精度

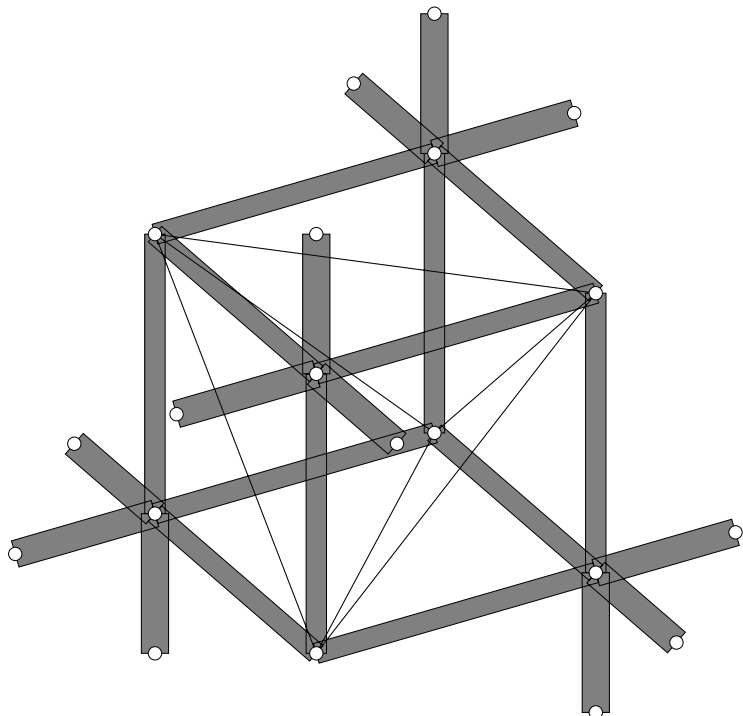


Fig. 15: 30部材立体トラスの最適解.

結論

1. 有限群 G に対し, G 対称な SDP を定義した.
2. 中心パスが G 対称であることを示した.
3. 主双対内点法の G 対称な探索方向
 - (a) HRVW/KSH/M 探索方向
 - (b) dual HRVW/KSH/M 探索方向
 - (c) NT 探索方向
4. 応用例
 - (a) 固有振動数制約下のトラスの最適設計問題
 - (b) G 対称なトラス形状 $\Rightarrow G$ 対称な SDP に帰着
 - (c) G 対称な断面積が得られる
5. 数値実験
 - 主双対内点法 : 精度の良い対称な最適解
 - SQP : 非対称な解に収束